



**Universidade de Brasília**

Controle Digital

Projeto Controle Digital - Controle por avanço e/ou  
atraso de fase do Servomecanismo translacional  
IP02-1

Luiz Vitor da Silva Vieira Reis - 13/0123391  
Matheus Abrantes Cerqueira - 13/0144291  
Vitor Alves Duarte - 13/0018546

Professor: Henrique Cézar

Data de realização: 29/11/2017

# Índice

|          |                                 |           |
|----------|---------------------------------|-----------|
| <b>1</b> | <b>Resumo</b>                   | <b>2</b>  |
| <b>2</b> | <b>Introdução</b>               | <b>2</b>  |
| 2.1      | Revisão bibliográfica . . . . . | 2         |
| <b>3</b> | <b>Metodologia</b>              | <b>3</b>  |
| <b>4</b> | <b>Identificação do sistema</b> | <b>4</b>  |
| <b>5</b> | <b>Controle</b>                 | <b>7</b>  |
| <b>6</b> | <b>Resultados</b>               | <b>8</b>  |
| 6.1      | Simulação . . . . .             | 8         |
| 6.2      | Resultados da planta . . . . .  | 9         |
| <b>7</b> | <b>Conclusão</b>                | <b>11</b> |

# Projeto Controle Digital

## Controle por avanço e/ou atraso de fase

Luiz Vitor da Silva Vieira Reis 13/0123391  
Matheus Abrantes Cerqueira 13/0144291  
Vitor Alves Duarte 13/0018546

7 de Dezembro de 2017

## 1 Resumo

Nesse trabalho foi feito o controle por lugar geométrico das raízes(LGR) de um servomecanismo linear, o controlador utilizado foi do tipo avanço e atraso que atingiu os requisitos de ultrapassagem percentual e tempo de pico desejados.

## 2 Introdução

### 2.1 Revisão bibliográfica

O Lugar Geométrico das Raízes (LGR) é uma técnica gráfica que permite visualizar a variação dos polos de malha fechada de um sistema, de acordo com a variação de um ganho  $K$ . A informação da localização dos polos de malha fechada de um sistema são de suma importância, tanto para a análise de estabilidade quanto para o projeto de controladores.

Considerando um sistema  $G(z)$ , realimentado negativamente com uma função de transferência  $H(z)$ , como descrito na Figura 1

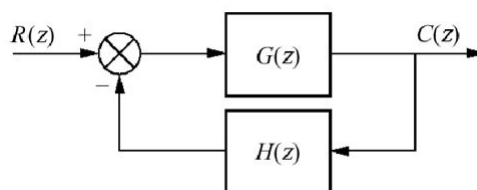


Figura 1: Diagrama de blocos realimentado negativamente

a função de transferência da saída em relação a entrada de referência é dada por:

$$\frac{C(z)}{R(z)} = \frac{G(z)}{1 + G(z)H(z)} \quad (1)$$

O polinômio característico  $P(z)$  do sistema é dado por:

$$P(z) = 1 + G(z)H(z) \quad (2)$$

Para obter os polos de malha fechada basta encontrar as raízes do polinômio  $P(z)$ :

$$P(z) = 1 + F(z) = 0, \quad (3)$$

onde,  $F(z) = G(z)H(z)$ .

Isolando  $F(z)$ :

$$F(z) = -1 + j0 \quad (4)$$

A partir da equação (4) pode definir condições de módulo e fase que  $F(z)$  deve satisfazer para que seus polos pertençam ao LGR:

$$|F(z)| = 1 \quad (5)$$

$$\angle F(z) = 180^\circ \pm 360^\circ k \quad (6)$$

Por meio da análise dos polos de malha fechada de um sistema é possível compreender o seu comportamento. O projeto de um controlador pode ser feito escolhendo polos desejados e projetando um controlador que permita atingi-los, uma vez que o controlador interfere na equação característica do sistema.

A planta utilizada foi o servomecanismo translacional IP02 da Quanser, empresa destaque em produtos laboratoriais nas áreas de controle, robótica e mecatrônica.<sup>1</sup>



Figura 2: Servomecanismo linear IP02

A planta servo linear IP02 consiste em um carro fixo em um eixo que se desloca devido o movimento rotacional de um motor CC que é transformado em translação por meio de uma cremalheira. A função de transferência da planta IP02 é dada por:

$$\frac{X(s)}{V_m(s)} = G(s) = \frac{b}{s(s+a)} \quad (7)$$

Em que  $v_m(t)$  é a tensão aplicada no motor e  $x(t)$  a posição do carro.

Espera-se que o sistema tenha uma resposta em malha fechada do tipo de segunda ordem, ou

$$\frac{C(s)}{R(s)} = \frac{\omega_n^2}{s^2 + 2 \cdot \xi \omega_n \cdot s + \omega_n^2} \quad (8)$$

Para funções de transferência de segunda ordem como a equação 8, tem-se que a ultrapassagem percentual(UP) é dada por

$$UP = \frac{c_{max} - c_{final}}{c_{final}} = \quad (9)$$

em que  $c_{max}$  é o valor máximo da saída e  $c_{final}$  o valor em regime da saída  $c(t)$ . Além disso tem-se que o tempo de pico, é dado por

$$T_p = \frac{\pi}{\omega_n \cdot \sqrt{1 - \xi^2}} \quad (10)$$

### 3 Metodologia

Primeiramente foram determinados os parâmetros  $a$  e  $b$  da equação 7, para isso foram aplicadas entradas na função de transferência de malha fechada:

$$T(s) = \frac{G(s)}{1 + G(s)} = \frac{b}{s^2 + a \cdot s + b} \quad (11)$$

Comparou-se a saída da planta experimental com o modelo teórico para diversos valores de  $a$  e  $b$ . E o critério para identificar os parâmetros foi o de minimização de erro quadrático da saída da planta.

<sup>1</sup><https://www.quanser.com/about/>

Após a identificação do sistema foi realizada a discretização do sistema e o controle para o sistema discretizado.

## 4 Identificação do sistema

O modelo SIMULINK utilizado para obtenção de dados é apresentado na figura a seguir em que os dados importantes para a identificação foram: entrada (valores e tempo) e saída da planta (valores e tempo), os dados restantes não foram utilizados.

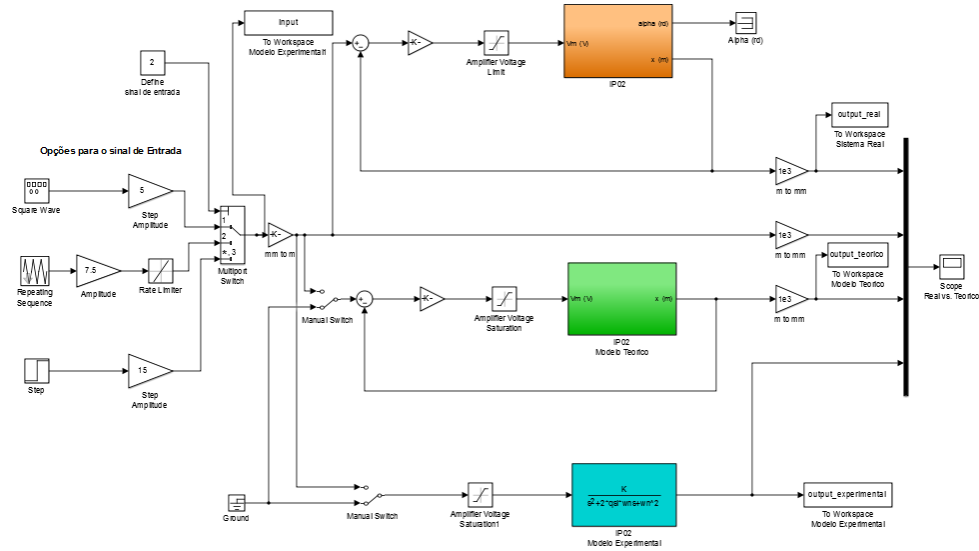


Figura 3: Modelo SIMULINK para identificação

Foram utilizadas duas entradas para a identificação do sistema, entrada quadrada de frequência 0.66 Hz e entrada sequência de pulsos de frequência 0.1 Hz. As entradas triangular e degrau não foi computada, porém foi utilizada para avaliação visual, uma vez que a identificação para resposta ao degrau forneceu dados discrepantes e a onda triangular é muito influenciada pela zona morta, além da onda triangular não ser um requisito de projeto.

O roteiro via MATLAB utilizado para identificação do sistema é apresentado a seguir.

```

1 - clc;clear all;close all
2 - load ident711_e3
3 - %opens struct time(input_real,output_experimental,output_real,output_teorico)
4
5 - N = length(input_real.time);
6 - b = 400;
7 - a = 8;
8 - count = 1;
9
10 - t0 = input_real.time(1,1);
11 - n_aux = t0/0.001;
12
13 - t_0output = output_real.time(1,1);
14 - n_corrige = t_0output/0.001;
15
16 - time_aux = 0:0.001:(t0-0.001);
17 - time = [time_aux';input_real.time];
18 - inputa = [zeros(n_aux,1);input_real.signals.values];
19
20 - for a=8:0.2:16
21 -     for b=400:1:700
22
23 -         T_test = tf([b],[1 a b]);
24 -         output_test = lsim(T_test,inputa,time);
25 -         error = sum(abs(output_real.signals.values-output_test(n_corrige+1:N+n_corrige,1)));
26 -         v(count,:) = [error,b,a];
27 -         count=count+1;
28 -     end
29 - end
30
31 - [m,i]=min(v(:,1));
32 - v(i,2:3)

```

Figura 4: Roteiro para identificação do sistema

O algoritmo da figura 4 simula o sistema da equação 11 para diversos valores de  $a$  e  $b$ , em seguida compara-se a simulação ao efetuar o erro quadrático da resposta simulada com a resposta da planta, a melhor identificação é aquela que fornece o menor erro quadrático. Para variar os valores dos parâmetros são feitos dois laços de repetição, um que incrementa os valores de  $a$  e outro que incrementa os valores de  $b$ .

O algoritmo de identificação proposto foi utilizado duas vezes para cada entrada, sendo os valores encontrados:

| Parâmetro | Degrau | Quadrada (5 mm, 0.66 Hz) | Sequência (7.5mm, 0.1Hz) |
|-----------|--------|--------------------------|--------------------------|
| a         | 564    | 559                      | 559                      |
| a         | 932    | 561                      | 547                      |
| b         | 11     | 12.1                     | 12.8                     |
| b         | 16     | 12.6                     | 12.4                     |

Tabela 1: Valores dos parâmetros para identificação

A onda tida como sequência é uma onda com 0.1 Hz de frequência em que vale 0 de [0,2s), depois 7.5 de [2s,6s) e -7.5 de [6s, 10s).

Como os valores da entrada ao degrau foram muito discrepantes, ao identificar o sistemas foram tomadas as médias dos valores encontrados para ondas quadradas, resultados nos valores:

|      |       |
|------|-------|
| a    | b     |
| 12.5 | 556.5 |

Tabela 2: Valores finais dos parâmetros

Alguns exemplos da identificação são apresentados nas figuras a seguir:

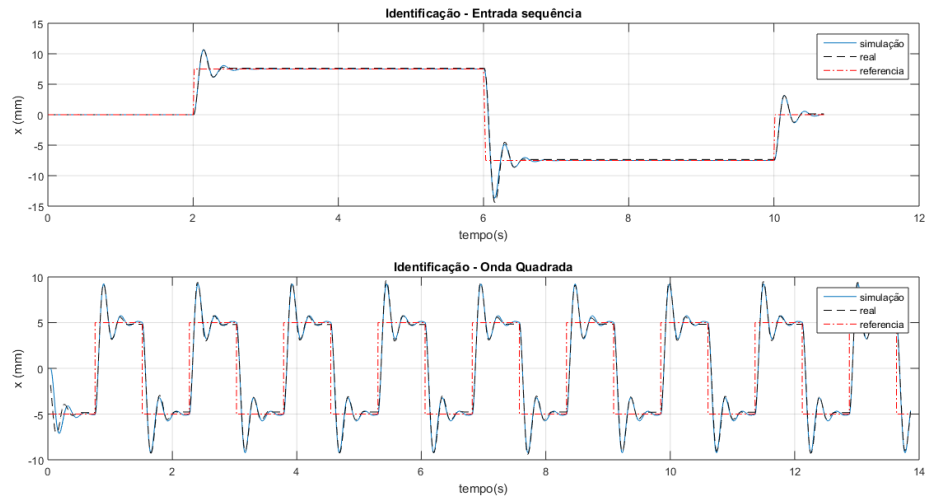


Figura 5: Exemplo da identificação para entradas quadrada e sequência

Para melhor apresentação, tem-se a figura 6.

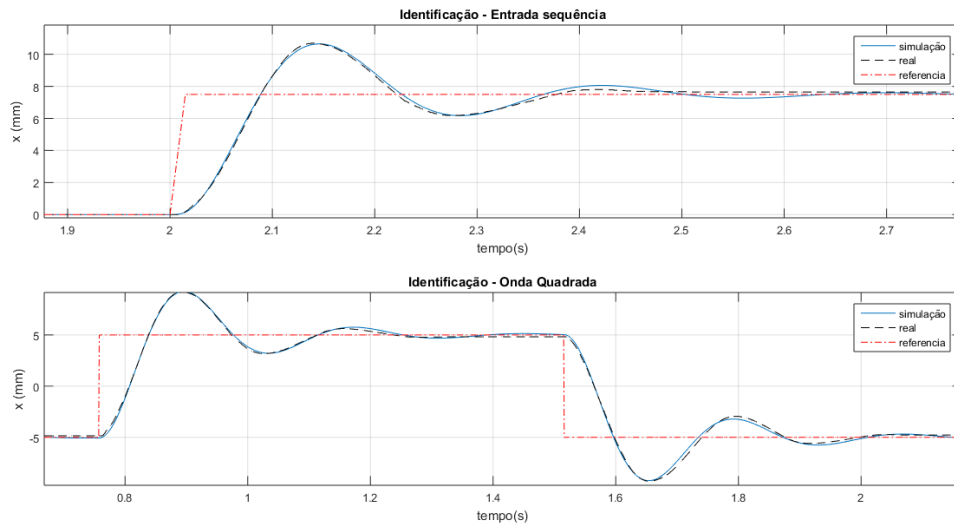


Figura 6: Zoom da figura 5

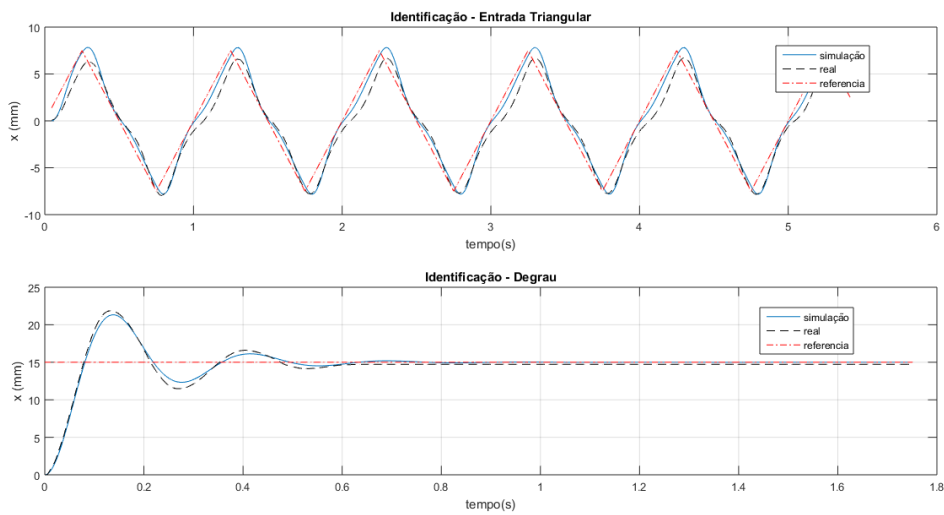


Figura 7: Exemplo das identificações para onda triangular e degrau

Pelas figuras 5, 6 e 7 é possível avaliar visualmente a qualidade da identificação. Veja que para as entradas degrau, quadrada e sequência o ajuste foi bem feito, porém para onda triangular aconteceu algumas diferenças.

## 5 Controle

Utilizando de uma amostragem de  $T = 0.02s$  a função de transferência da equação 7 resulta em

$$G(z) = (1 - z^{-1}) \cdot Z\left\{\frac{G(s)}{s}\right\} = \frac{0.1026 \cdot (z + 0.9195)}{(z - 1) \cdot (z - 0.7781)}. \quad (12)$$

Escolhendo os parâmetros de ultrapassagem percentual(UP) menor que 20% e tempo de pico de aproximadamente 0.15segundos, além disso deseja-se que a resposta ao degrau(e a onda quadrada) tenha erro nulo.

Para o projeto foi considerado os requisitos a seguir:

|     |        |
|-----|--------|
| UP  | Tp     |
| 15% | 0.15 s |

os requisitos de projeto são traduzidos em  $\xi = 0.5169$  e  $w_n = 24.4664$  de forma que os polos sejam

$$s = -w_n \cdot \xi \pm i \cdot w_n \sqrt{1 - \xi^2} \quad (13)$$

uma vez que  $z = e^{s \cdot T}$  os polos desejados são

$$z = 0.70937 \pm i \cdot 0.31583 \quad (14)$$

Como os polos da planta discretizada são  $z = 1, z = 0.7781$  e  $z = -0.9195$ , o ângulo da função de transferência 12 para os polos desejados é de:

$$\theta - \phi_1 - \phi_2 = 10.9778 - 102.2771 - 132.62058 = -223.9199^\circ \quad (15)$$

dessa forma é necessário um controlador de avanço de fase para fazer o angulo ir de  $-223.9199^\circ$  a  $-180^\circ$ .

A figura 8 apresenta o lugar geométrico das raízes(LGR) da planta discretizada, onde os losangos são os polos desejados. Na figura também são apresentados os ângulos dos polos e zeros da planta até o polo de  $z = 0.70937 \pm 0.31583$ .

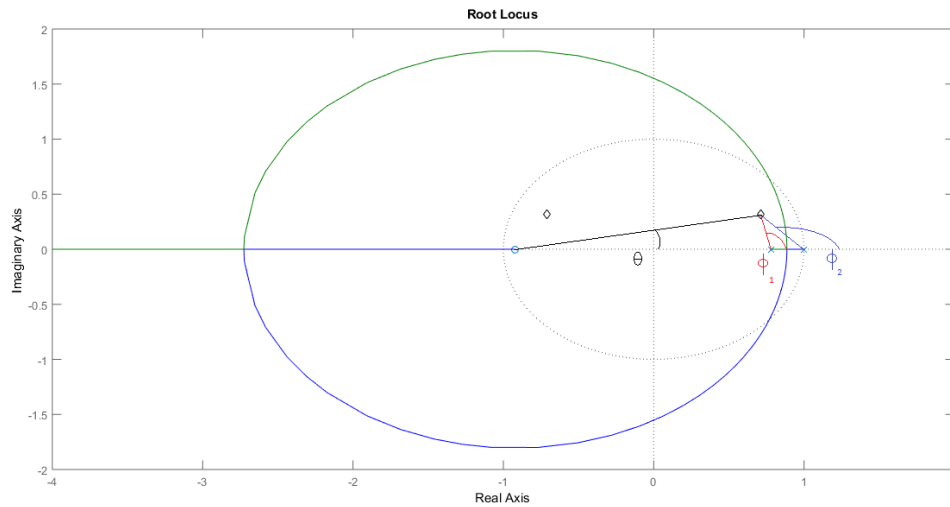


Figura 8: LGR da função de transferência 12

Seja a função de transferência do controlador



$$G_c(z) = \frac{K \cdot (z - zc)}{z - pc} \quad (16)$$

e escolhendo o zero  $zc$  de forma a cancelar o zero da planta em  $z = 0.7781$ . Com o cancelamento tem-se

$$\theta - \phi_2 - \phi_c = -180 \quad (17)$$

em que  $\phi_c$  é o ângulo do polo do controlador ao polo desejado. Encontra-se que  $\phi_c = 58.35724^\circ$  e pode-se calcular o polo do controlador:

$$pc = 0.70937 - \frac{0.31483}{\tan(58.35724)} = 0.51475 \quad (18)$$

O ganho  $K$  da função de transferência da equação 12 é obtido pelo critério da magnitude e o ganho é  $K = 0.935118$  de forma que a equação do controlador é

$$G_c(z) = 0.95118 \cdot \left( \frac{z - 0.7781}{z - 0.51475} \right) \quad (19)$$

Para reduzir eventual erro em regime permanente da planta foi utilizado um controlador em atraso de fase com equação

$$G_a(z) = \frac{z - z_a}{z - p_a} \quad (20)$$

tal que  $z_a < p_a$  e ambos são próximos de 1.

## 6 Resultados

### 6.1 Simulação

A figura 11 apresenta o resultado da discretização da planta, foi efetuada a resposta ao degrau em malha aberta dos sistemas 7 e 12.

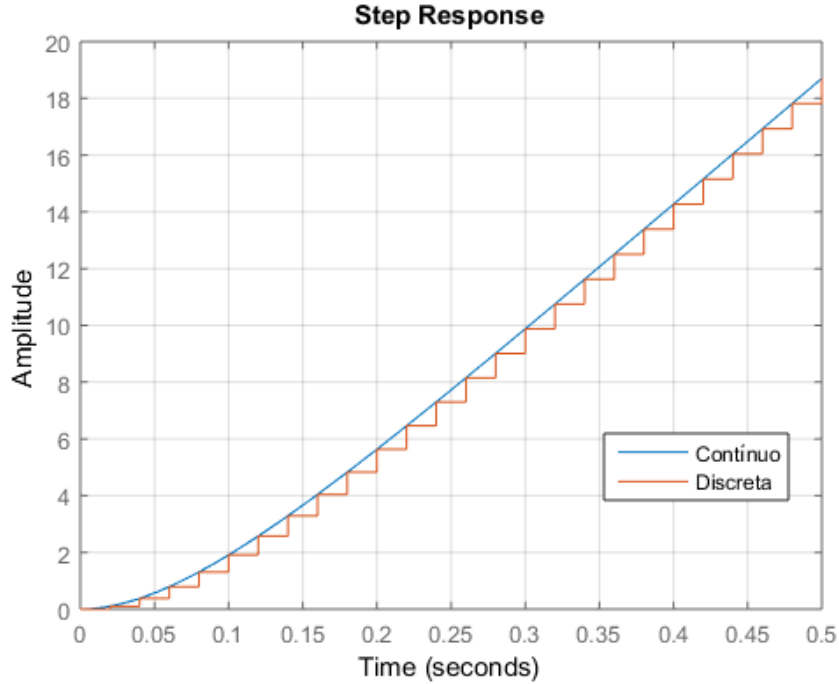


Figura 9: Comparação da função de transferência contínua da equação 7 e 12

Antes de efetuar o controle na planta foi simulado o controle no SIMULINK de acordo com o diagrama da figura 10 cujo resultados são apresentados na figura 11.

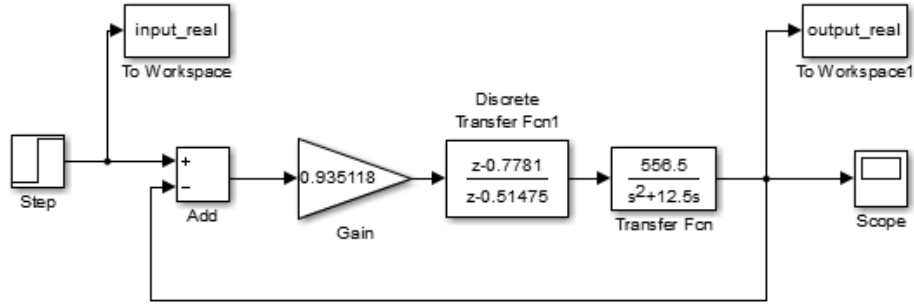


Figura 10: Modelo SIMULINK para simulação do controle

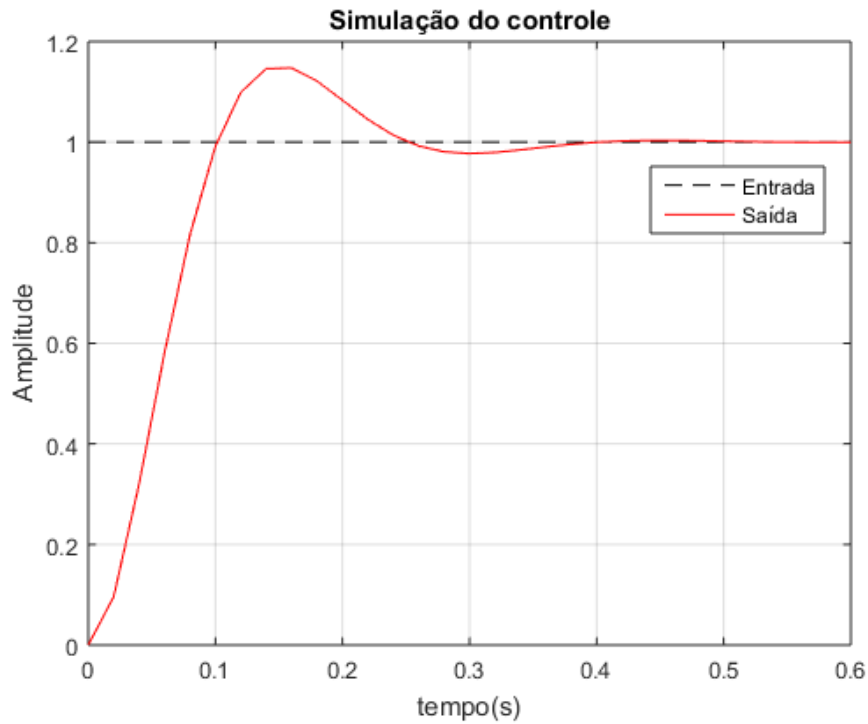


Figura 11: Resultados da simulação do controle

Os resultados da simulação foram ultrapassagem percentual  $UP = 14.7543\%$  e instante de pico  $Tp = 0.16s$ , uma vez que o valor máximo é 1.1475 e ocorre em 0.16 segundos. Os valores obtidos pela simulação estão de acordo com os requisitos de projeto.

## 6.2 Resultados da planta

Após a simulação foram obtidas as respostas da planta controlada com o controlador da equação 19, a figura 12 apresenta a resposta da planta para onda quadrada, sequência de pulsos e degrau unitário.

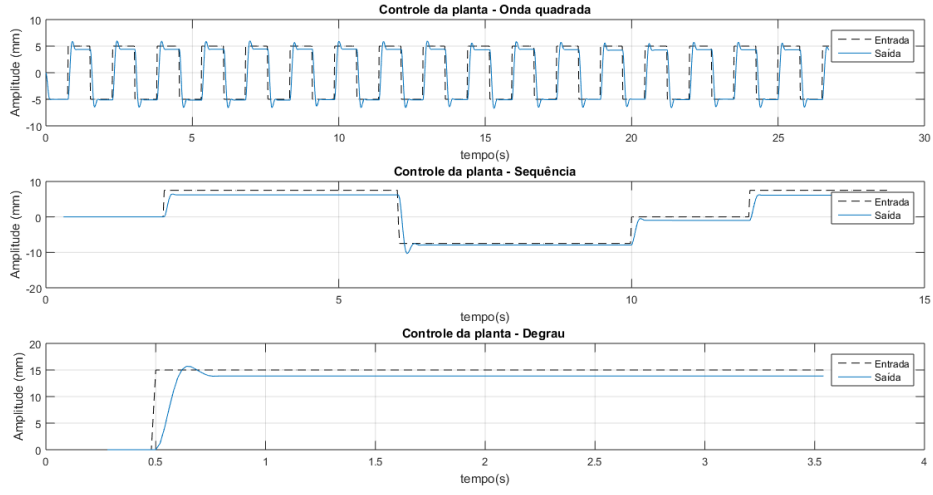


Figura 12: Resultados para controlador da equação 19

O degrau unitário inicia-se em 0.5 segundos para melhor visualização e coleta de dados.

Como existe um erro em regime permanente, foi necessário um controlador de atraso para reduzir erro em regime permanente, para um controlador  $G_{a1}(z)$ , com ganho 3 em regime

$$G_{a1}(z) = \frac{z - 0.94}{z - 0.98}, \quad (21)$$

foram obtidas os seguintes resultados:

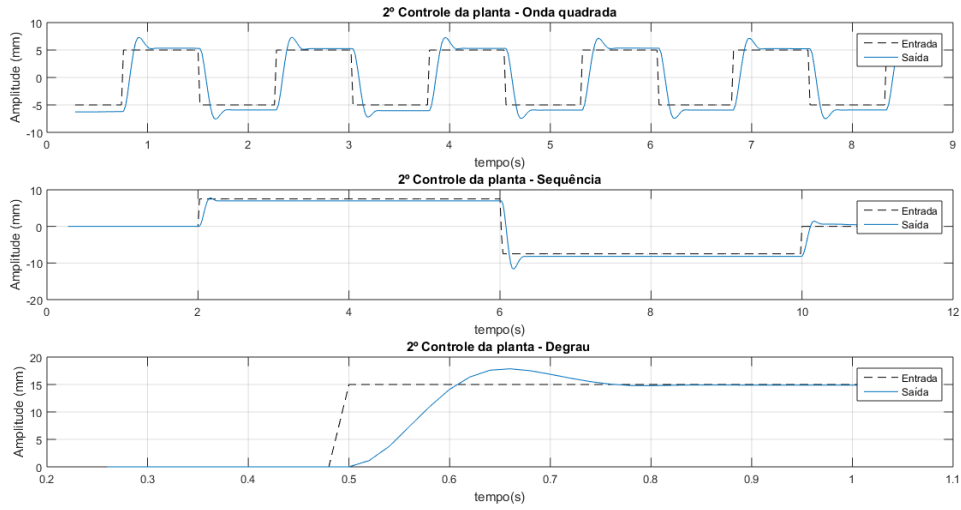


Figura 13: Resultados para controlador da equação atraso avanço, com atraso da equação 21

Uma tentativa de reduzir o erro em regime permanente foi aumentar o ganho fornecido pelo controlador de atraso, dessa forma para um controlador de

$$G_{a2}(z) = \frac{z - 0.94}{z - 0.99} \quad (22)$$

com ganho 6 em regime forneceu os seguintes resultados:

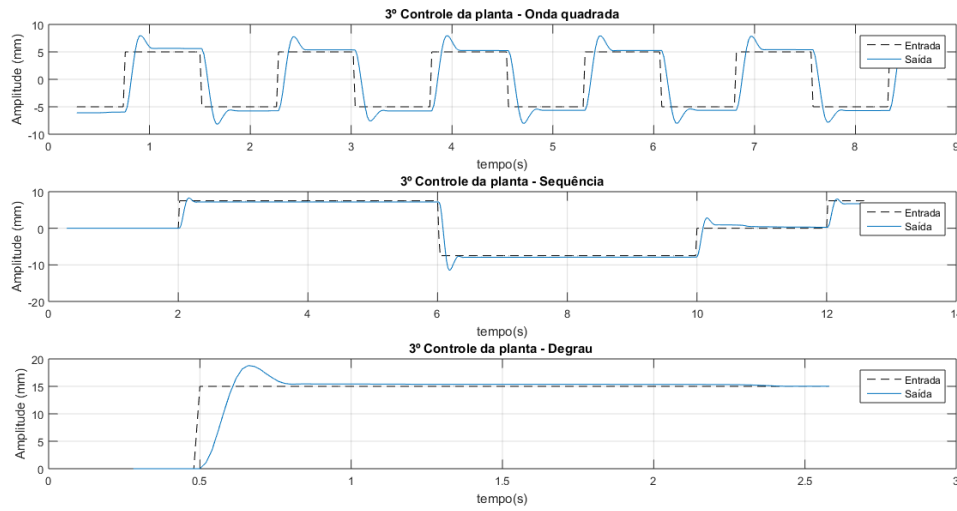


Figura 14: Resultados para controlador da equação atraso avanço, com atraso da equação 22

A tabela 3 apresenta os resultados obtidos para a resposta ao degrau unitário, veja que o controlador em atraso de fase reduziu o erro em regime permanente, porém aumentou a ultrapassagem percentual.

| Controlador    | Avanço | Avanço e Atraso1 | Avanço e Atraso2 |
|----------------|--------|------------------|------------------|
| Up             | 13.11% | 20.03%           | 25.15%           |
| Tp             | 0.14s  | 0.16 s           | 0.16 s           |
| Erro em regime | 1.1234 | 0.1225           | 0.014            |

Tabela 3: Comparação dos resultados

Veja que a ultrapassagem percentual de 20.03% ultrapassa 0.15% da máxima de 20%, além disso para o controlador avanço e atraso com atraso da equação 21 houve uma grande redução do erro, onde o erro de 0.1225 para uma entrada de amplitude 15 corresponde a menos de 1% da entrada.

Mesmo os modelos teóricos da equação contínua 7 e discretizada 12 apresentarem sistemas do tipo 2, com erro nulo ao degrau, a planta apresentou erro em regime permanente. Uma justificativa é que a planta, por ser movida por um motor DC, apresenta não linearidade do tipo zona morta que não foi modelada e compensada. [1]

## 7 Conclusão

Foi possível realizar o controle da planta linear obtendo valores satisfatórios de ultrapassagem percentual e tempo de pico, porém a ocorrência de erro nulo em regime permanente não foi possível de ser verificada. Um controlador em atraso de fase diminuiu o erro em regime permanente, porém aumentando a ultrapassagem percentual e o instante de pico.

Uma abordagem futura para anular o erro em regime é a tentativa de modelar e compensar zona morta e caso não seja possível compensar a zona morta de forma a zerar o erro em regime, deve-se utilizar um controlador do tipo integral.

## Referências

- [1] N. S. Nise. *Control Systems Engineering, 6th edition*. John Wiley & Sons, 2011.